

# Właściwości Kinematyki z Uniwersalnym Układem Odniesienia

Karol Szostek<sup>1</sup>, Roman Szostek<sup>2</sup>

<sup>1</sup>*Politechnika Rzeszowska, Katedra Termodynamiki i Mechaniki Płynów, Rzeszów, Polska  
kszostek@prz.edu.pl*

<sup>2</sup>*Politechnika Rzeszowska, Katedra Metod Ilościowych, Rzeszów, Polska  
rszostek@prz.edu.pl*

## Streszczenie:

W artykule wyprowadzamy własności kinematyki ciał z uniwersalnym układem odniesienia (universal frame of reference - UFR, eter), którą nazwaliśmy Szczególną Teorią Eteru.

W artykule wyjaśniono dlaczego eksperyment Michelson'a-Morley'a oraz Kennedy'ego-Thorndike'a nie były w stanie wykryć uniwersalny układ odniesienia.

W artykule wyprowadzamy na podstawie geometrycznej analizy eksperymentów Michelson'a-Morley'a oraz Kennedy'ego-Thorndike'a inną transformację czasu i położenia niż transformacja Lorentza. Transformację wyprowadzamy przy założeniu, że istnieje uniwersalny układ odniesienia. UFR jest układem odniesienia wyróżniającym się tym, że prędkość światła jest w nim stała w każdym kierunku. W inercjalnych układach odniesienia poruszających się względem UFR, jednokierunkowa prędkość światła może być inna.

Wyprowadzone zostały wzory na sumowanie prędkości dla prędkości bezwzględnej oraz prędkości względnych. Wyprowadzone zostały także zależności na skrócenie długości oraz dylatację czasu.

Cały artykuł zawiera tylko oryginalne badania autorów publikacji.

**Słowa Kluczowe:** kinematyka ciał, uniwersalny układ odniesienia, transformacja czasu i położenia, prędkość światła w jednym kierunku, skrócenie długości, dylatacja czasu

**PACS:** 02.90.+p , 03.30.+p

## 1. Wprowadzenie

Powszechnie uważa się, że eksperymenty Michelson'a-Morley'a z 1887 roku oraz eksperyment Kennedy'ego-Thorndike'a z 1932 roku wykazały, że nie istnieje uniwersalny układ odniesienia (eter) oraz, że prędkość światła w próżni jest absolutnie stała. Analiza tych eksperymentów doprowadziła do powstania Szczególnej Teorii Względności (STW).

W artykule zaprezentowano wyjaśnienie wyników eksperymentów Michelson'a-Morley'a [3] oraz Kennedy'ego-Thorndike'a [1], przy założeniu, że istnieje inercjalny układ odniesienia (UFR), w którym prędkość światła ma stałą wartość. W inercjalnych układach odniesienia poruszających się względem UFR, jednokierunkowa prędkość światła może być inna. W artykule wyprowadzone zostały transformacje z inercjalnego układu do UFR oraz z UFR do inercjalnego układu metodą geometryczną.

Nigdy nie zmierzono dokładnie prędkości światła w jedną stronę. We wszystkich dokładnych eksperymentach laboratoryjnych mierzono jedynie, podobnie jak w eksperymencie Michelson'a-Morley'a, średnią prędkość światła przebywającego drogę po trajektorii zamkniętej. W eksperymentach tych światło zawsze wraca do punktu wyjścia. Dlatego założenie o stałej prędkości światła (prędkości chwilowej) przyjęte w Szczególnej Teorii Względności nie ma uzasadnienia eksperymentalnego. Wyprowadzenie przedstawione w tym artykule oparte jest na założeniu wynikającym z tych eksperymentów, czyli, że dla każdego obserwatora stała jest średnia prędkość światła przebywającego drogę tam i z powrotem.

Transformacja «UFR - inercjalny układ» (27)-(28) wyprowadzona w tym artykule metodą geometryczną była już wyprowadzona inną metodą w artykułach [2] oraz [12]. W pracy [2] autor otrzymał tę transformację z transformacji Lorentza dzięki synchronizacji zegarów w inercjalnych układach metodą zewnętrzną. Transformacja uzyskana w pracy [2] jest inaczej zapisaną transformacją Lorentza po zmianie sposobu mierzenia czasu w inercjalnym układzie odniesienia, dlatego transformacji tej przypisano własności Szczególnej Teorii Względności. Transformacja (27)-(28) ma inne fizyczne znaczenie niż transformacja Lorentza, ponieważ według teorii przedstawionej w tym artykule możliwe jest wyznaczenie prędkości względem uniwersalnego układu odniesienia przy pomocy lokalnego pomiaru. Czyli uniwersalny układ odniesienia jest realny, i nie jest dowolnie wybranym układem inercjalnym.

## 2. Przyjęte założenia

W przedstawionej analizie eksperymentów Michelson'a-Morley'a i Kennedy'ego-Thorndike'a przyjmujemy następujące założenia:

- I. Istnieje uniwersalny układ odniesienia (UFR) względem którego prędkość światła w próżni ma tę samą wartość w każdym kierunku.
- II. Średnia prędkość światła na drodze tam i z powrotem jest dla każdego obserwatora niezależna od kierunku propagacji światła. Wynika to z eksperymentu Michelson'a-Morley'a.
- III. Średnia prędkość światła na drodze tam i z powrotem nie zależy od prędkości obserwatora względem UFR. Wynika to z eksperymentu Kennedy'ego-Thorndike'a.
- IV. W kierunku prostopadłym do kierunku prędkości ciała, poruszającego się względem UFR, nie następuje jego skrócenie ani wydłużenie.
- V. Transformacja «UFR - inercjalny układ» jest liniowa.

Przedstawione w tym artykule wyprowadzenie transformacji różni się od wyprowadzenia metodą geometryczną transformacji Lorentza, na której opiera się STW. W STW w wyprowadzeniu transformacji Lorentza zakłada się, że transformacja odwrotna ma taką samą postać jak transformacja pierwotna. Takie założenie wynika z przekonania, że wszystkie inercjalne układy są równoważne. W przedstawionym w tym artykule wyprowadzeniu nie zakładamy jaką postać ma transformacja odwrotna.

Przyjęte w tym artykule założenia na temat prędkości światła także są słabsze od tych przyjętych w STW. W STW zakłada się, że prędkość światła jest absolutnie stała, pomimo tego, że nie dowiódł tego żaden eksperyment. W tym artykule przyjęte zostało założenie wynikające z eksperymentów, czyli, że stała jest średnia prędkość światła na drodze do zwierciadła oraz z powrotem (założenie II oraz III). W przedstawionych rozważaniach prędkość światła jest z założenia stała jedynie w jednym wyróżnionym układzie odniesienia - UFR (założenie I).

Założenia IV oraz V są identyczne jak te, na których opiera się STW.

W pracach [6] oraz [7] zostały wyprowadzone identyczne transformacje jak w tym artykule, ale przy przyjętym dodatkowym założeniu. W tamtym przypadku przeprowadzona została analiza przepływu tylko jednego strumienia światła.

### 3. Czas i droga przepływu światła w UFR

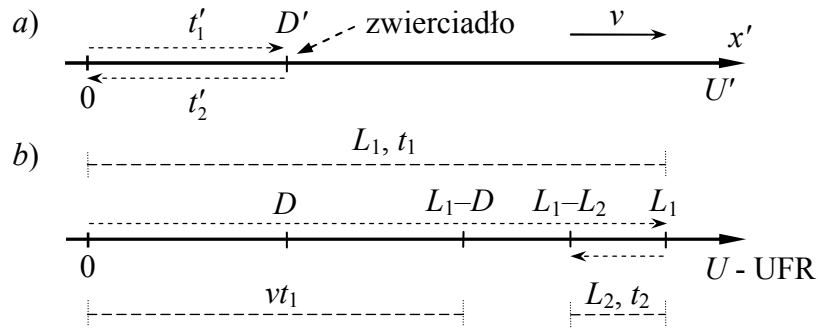
Rozpatrzmy układ inercjalny  $U'$ , który porusza się względem układu  $U$  związanego z UFR z prędkością  $v$  (rysunek 1). W układzie  $U'$  znajduje się zwierciadło w odległości  $D'$  od początku układu. Światło w układzie  $U$  przemieszcza się ze stałą prędkością  $c$ . Z układu  $U'$ , z punktu  $x'=0$  w czasie  $t=0$ , wysłano strumień światła w kierunku zwierciadła. Po dotarciu do zwierciadła, odbite światło porusza się w układzie  $U$  w przeciwnym kierunku z prędkością o ujemnej wartości  $-c$ .

Przyjmujemy następujące oznaczenia dla obserwatora z układu  $U$ :  $t_1$  jest czasem przepływu światła do zwierciadła,  $t_2$  jest czasem powrotu światła do punktu wyjścia.  $L_1$  oraz  $L_2$  są drogami jakie pokonało światło w układzie  $U$  w jednym i w drugim kierunku.

Gdy światło zmierza w kierunku zwierciadła, wtedy zwierciadło ucieka przed nim z prędkością  $v$ . Gdy światło wraca do punktu  $x'=0$  po odbiciu się od zwierciadła, wtedy ten punkt wybiega mu naprzeciw z prędkością  $v$ . Dla obserwatora z układu  $U$  odległość  $D'$  równoległa do wektora prędkości  $v$  jest widziana jako  $D_x$ . Otrzymujemy

$$L_1 = D + v \cdot t_1, \quad L_2 = D - v \cdot t_2 \quad (1)$$

$$t_1 = \frac{L_1}{c} = \frac{D + v \cdot t_1}{c}, \quad t_2 = \frac{L_2}{c} = \frac{D - v \cdot t_2}{c} \quad (2)$$



Rys. 1. Czas i droga przepływu światła do zwierciadła oraz z powrotem:  
a) droga światła widziana z układu inercjalnego  $U'$ ,  
b) droga światła widziana z UFR.

Zależności (2) należy rozwiązać ze względu na  $t_1$  oraz  $t_2$ . Otrzymujemy wówczas czas oraz drogę przepływu w UFR

$$t_1 = \frac{D}{c - v}, \quad t_2 = \frac{D}{c + v} \quad (3)$$

$$L_1 = c \cdot t_1 = D \frac{c}{c - v}, \quad L_2 = c \cdot t_2 = D \frac{c}{c + v} \quad (4)$$

### 4. Geometryczne wyprowadzenie transformacji

Przeanalizowano wyniki eksperymentu ze światłem w sposób przedstawiony na rysunku 2. Układ inercjalny  $U'$  porusza się z prędkością  $v$  względem układu  $U$  związanego z UFR, równoległe do osi  $x$ . Osie  $x$  oraz  $x'$  leżą na jednej prostej.

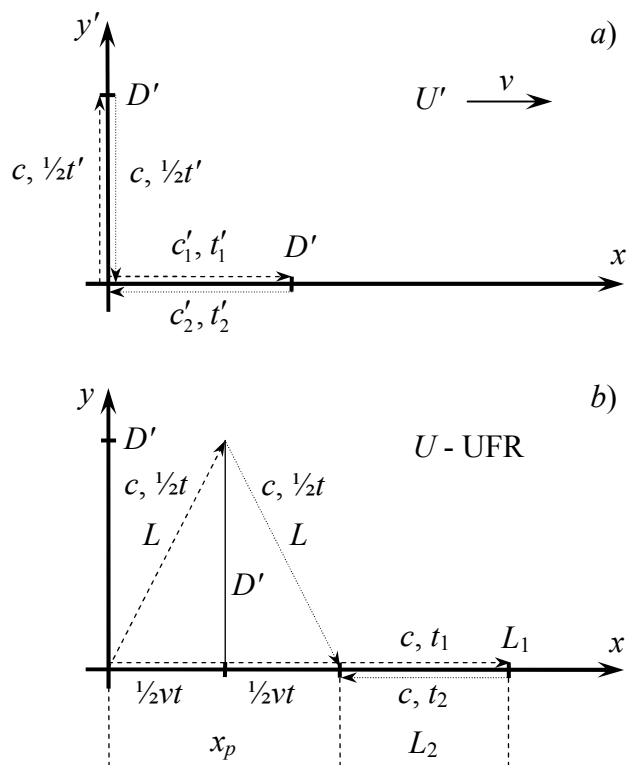
W chwili, gdy początki układów pokrywają się, synchronizowane są zegary w obu układach. Zegary w układzie  $U$  związanym z UFR są synchronizowane metodą wewnętrzną [2]. Zegary w układzie  $U'$  są synchronizowane metodą zewnętrzną w taki sposób, że jeżeli zegar układu  $U$

wskazuje czas  $t=0$ , wtedy znajdujący się obok niego zegar układu  $U'$  także jest zerowany, czyli  $t'=0$ .

W układzie  $U'$  przeprowadzono eksperyment pomiaru prędkości światła w próżni prostopadle oraz równoległe do kierunku ruchu układu  $U'$  względem UFR. W każdym z tych kierunków światło przebywa drogę do zwierciadła i z powrotem. Na rysunku 2 w części a) zaprezentowano drogi przepływu światła widziane przez obserwatora z układu  $U'$ , natomiast w części b) widziane przez obserwatora z układu  $U$ .

W układzie  $U$  światło ma zawsze stałą prędkość  $c$  (założenie I). Rozważania dotyczą przepływu światła w próżni.

Zgodnie z wnioskami wynikającymi z eksperymentu Michelson'a-Morley'a założono, że średnia prędkość światła  $c_p$  na drodze do zwierciadła i z powrotem w układzie  $U'$  jest taka sama w każdym kierunku, w szczególności w kierunku równoległym do osi  $y'$  (założenie II). Założono także, że średnia prędkość światła  $c_p$  na drodze do zwierciadła i z powrotem nie zależy od prędkości obserwatora względem UFR (założenie III).



Rys. 2. Drogi dwóch strumieni światła:  
a) widziane przez obserwatora z układu  $U'$   
b) widziane przez obserwatora z układu  $U$  (UFR).

Z założenia II oraz III wynika, że średnia prędkość światła  $c_p$  w inercjalnym układzie odniesienia  $U'$  jest taka sama jak prędkość światła  $c$  w układzie  $U$ . Jeżeli dopuścimy, że średnia prędkość  $c_p$  światła w układzie  $U'$ , jest jakąś funkcją prędkości światła  $c$  w układzie  $U$  zależną od prędkości  $v$ , wówczas

$$c_p = f(v)c \quad (5)$$

Z założenia III wynika, że średnia prędkość  $c_p$  światła jest taka sama dla różnych prędkości Ziemi względem UFR, dlatego  $f(v_1)=f(v_2)$ . Ponieważ  $f(0)=1$ , zatem  $f(v)=1$  dla każdej prędkości  $v$ . Wynika stąd, że  $c=c_p$ .

Zwierciadła są związane z układem  $U'$  i umieszczone w odległości  $D'$  od początku układu współrzędnych. Jedno zwierciadło znajduje się na osi  $x'$ , drugie na osi  $y'$ . Zakłada się, że odległość

$D'$  prostopadła do prędkości  $v$  jest taka sama dla obserwatorów z obu układów (założenie IV). Dlatego na rysunku 2 występuje ta sama długość  $D'$  w części a) oraz części b).

Czas przepływu światła w układzie  $U$ , wzdłuż osi  $x$ , do zwierciadła oznaczono przez  $t_1$ . Czas przepływu z powrotem oznaczono przez  $t_2$ .

Czas przepływu światła w układzie  $U'$ , wzdłuż osi  $x'$ , do zwierciadła oznaczono przez  $t'_1$ . Czas przepływu z powrotem oznaczono przez  $t'_2$ .

Łączny czas oznaczono odpowiednio jako  $t$  oraz  $t'$  ( $t = t_1 + t_2$  oraz  $t' = t'_1 + t'_2$ ).

Strumień światła, poruszający się równolegle do osi  $y'$ , z punktu widzenia układu  $U$  porusza się po ramionach trójkąta równoramiennego o długościach  $L$ . Ponieważ prędkość światła w układzie  $U$  jest stała, dlatego czas przepływu wzdłuż obu ramion jest taki sam i wynosi  $t/2$ .

W układzie  $U$ , strumień światła biegnący równolegle do osi  $x$  w kierunku zwierciadła pokonuje odległość  $L_1$  w czasie  $t_1$ . W drodze powrotnej pokonuje odległość  $L_2$  w czasie  $t_2$ . Odległości te są różne ze względu na ruch względem UFE zwierciadła i punktu, z którego wysłano światła.

Obydwa strumienie światła wracają do punktu wyjścia w tym samym czasie, zarówno w układzie  $U$  oraz układzie  $U'$ . Wynika to z założenia II oraz z ustawienia zwierciadeł w tej samej odległości od punktu emisji światła.

Zarówno dla obserwatora z układu  $U'$  oraz obserwatora z układu  $U$  prędkość światła można zapisać

$$\frac{2D'}{t'_1 + t'_2} = \frac{2D'}{t'} = c = \frac{2L}{t} = \frac{L_1 + L_2}{t_1 + t_2} \quad (6)$$

Z równania (6) można wyznaczyć drogi  $L$  oraz  $D'$ , które zależą od prędkości światła  $c$  oraz czasów przepływu światła  $t$ ,  $t'$  odpowiednio w układach  $U$  oraz  $U'$

$$L = \frac{ct}{2}; \quad D' = \frac{ct'}{2} \quad (7)$$

Prędkość układu  $U'$  względem absolutnego układu odniesienia  $U$  oznaczono przez  $v$ . Ponieważ  $x_p$  jest to droga, jaką układ  $U'$  przebędzie w czasie przepływu światła  $t$ , stąd

$$v = \frac{x_p}{t}; \quad x_p = vt \quad (8)$$

Korzystając z geometrii pokazanej na rysunku 2 drogę  $L$  można wyrazić jako

$$L = \sqrt{(x_p/2)^2 + D'^2} = \sqrt{(vt/2)^2 + D'^2} \quad (9)$$

Równanie (9) po podniesieniu do kwadratu i uwzględnieniu zależności (7) otrzyma postać

$$(ct/2)^2 = (vt/2)^2 + (ct'/2)^2 \quad (10)$$

Po uporządkowaniu otrzymamy

$$t^2(c^2 - v^2) = (ct')^2 \quad (11)$$

$$t = t' \frac{1}{\sqrt{1 - (v/c)^2}} \quad \text{dla } x' = 0 \quad (12)$$

W powyższej zależności występują tylko czasy  $t$  oraz  $t'$ , które dotyczą pełnego przepływu światła do zwierciadła i z powrotem. Należy zwrócić uwagę na to, że są to czasy mierzone w punkcie  $x'=0$ . Ponieważ długość  $D'$  można dobrać tak, aby czas przepływu światła był dowolny, dlatego zależność (12) jest prawdziwa dla dowolnego czasu.

Długość  $D'$  związana z układem  $U'$  równoległa do osi  $x$  jest z punktu widzenia układu  $U$  widziana jako  $D$ . Jeśli światło biegnie w kierunku zwierciadła, w absolutnym układzie odniesienia  $U$ , to goni zwierciadło, które jest od niego oddalone o  $D$ . Po odbiciu światło wraca do punktu wyjścia, który wybiega mu na przeciw. Korzystając z równań (4) otrzymujemy równania na drogi przeływu światła w układzie  $U$  w obu kierunkach wzdłuż osi  $x'$

$$L_1 = ct_1 = D \frac{c}{c-v}; \quad L_2 = ct_2 = D \frac{c}{c+v} \quad (13)$$

Z równań (13) można wyznaczyć sumę i różnicę dróg  $L_1$  oraz  $L_2$ , jakie światło przebyło w układzie  $U$

$$\begin{aligned} L_1 + L_2 &= D \frac{c}{c-v} + D \frac{c}{c+v} = 2D \frac{1}{1-(v/c)^2}, \\ L_1 - L_2 &= D \frac{c}{c-v} - D \frac{c}{c+v} = 2D \frac{v}{c} \cdot \frac{1}{1-(v/c)^2} \end{aligned} \quad (14)$$

Z drugiego równania można wyznaczyć drogę, jaką układ  $U'$  pokonał w połowie czasu przepływu światła  $t/2$ , czyli

$$\frac{x_p}{2} = \frac{vt}{2} = \frac{L_1 - L_2}{2} = D \frac{v}{c} \frac{1}{1-(v/c)^2} \quad (15)$$

Ponieważ przyjęto, że w układzie  $U$ , prędkość światła  $c$  jest stała, dlatego obie drogi, jakie pokonuje światło  $2L$  oraz  $L_1+L_2$  są takie same

$$2L = L_1 + L_2 \quad (16)$$

Po podstawieniu (9) oraz pierwszego równania (14) otrzymamy

$$2\sqrt{(vt/2)^2 + D'^2} = 2D \frac{1}{1-(v/c)^2} \quad (17)$$

Po skróceniu przez 2 i podniesieniu do kwadratu oraz uwzględnieniu (15) otrzymamy

$$\left( D \frac{v}{c} \cdot \frac{1}{1-(v/c)^2} \right)^2 + D'^2 = D^2 \left( \frac{1}{1-(v/c)^2} \right)^2 \quad (18)$$

Z równania (18) można wyznaczyć zależność na skrócenie długości

$$\begin{aligned} D'^2 &= D^2 \left( \frac{1}{1-(v/c)^2} \right)^2 (1-(v/c)^2) \\ D' &= D \left( \frac{1}{1-(v/c)^2} \right) \sqrt{1-(v/c)^2} = D \frac{1}{\sqrt{1-(v/c)^2}} \end{aligned} \quad (19)$$

$$D = D' \sqrt{1-(v/c)^2} \quad (20)$$

W powyższej zależności występują długości  $D$  oraz  $D'$ , które są odległościami między zwierciadłami oraz punktem emisji światła. Ponieważ długość  $D'$  można dobrać dowolnie, dlatego zależność (20) jest prawdziwa dla dowolnej wartości  $D'$ .

Po wstawieniu (12) do (8) uzyskamy

$$x_p = vt' \frac{1}{\sqrt{1-(v/c)^2}} \quad \text{dla } x' = 0 \quad (21)$$

Przyjmujemy, że transformacja z inercjalnego układu  $U'$  do układu  $U$  jest liniowa (założenie V). Jeśli do transformacji czasu i położenia (12), (21) dodać czynniki liniowe zależne od  $x'$ , wówczas uzyskamy transformację z niewiadomymi współczynnikami  $a, b$

$$\begin{aligned} t &= t' \frac{1}{\sqrt{1-(v/c)^2}} + ax' \\ x &= vt' \frac{1}{\sqrt{1-(v/c)^2}} + bx' \end{aligned} \quad (22)$$

Transformacja (22) powinna obowiązywać dla dowolnego czasu oraz położenia. W szczególnym przypadku obowiązuje w chwili synchronizacji zegarów czyli, gdy  $t=t'=0$  dla punktu o współrzędnych  $D'$  w układzie  $U'$ . W związku z tym wstawiamy do transformacji (22)  $t=t'=0, x'=D'$  oraz  $x=D$ . W tym momencie została zastosowana synchronizacja zewnętrzna zegarów w układzie  $U'$  na podstawie zegarów w eterze. Po uwzględnieniu (20) otrzymujemy

$$\begin{aligned} 0 &= aD' \\ \sqrt{1-(v/c)^2} D' &= bD' \end{aligned} \quad (23)$$

Stąd otrzymamy współczynniki  $a$  oraz  $b$

$$\begin{aligned} a &= 0 \\ b &= \sqrt{1-(v/c)^2} \end{aligned} \quad (24)$$

Ostatecznie transformacja z dowolnego inercjalnego układu  $U'$  do układu  $U$  związanego z UFR, przyjmie postać

$$t = \frac{1}{\sqrt{1-(v/c)^2}} t' \quad (25)$$

$$x = \frac{1}{\sqrt{1-(v/c)^2}} vt' + \sqrt{1-(v/c)^2} \cdot x' \quad (26)$$

Po przekształceniu otrzymamy transformację odwrotną, czyli transformację z układu  $U$  związanego z UFR, do inercjalnego układu  $U'$

$$t' = \sqrt{1-(v/c)^2} \cdot t \quad (27)$$

$$x' = \frac{1}{\sqrt{1-(v/c)^2}} (-vt + x) \quad (28)$$

Prędkość  $v$  jest prędkością układu inercjalnego względem uniwersalnego układu odniesienia.

## 5. Transformacja pomiędzy dwoma układami inercjalnymi

Transformację z inercjalnego układu  $U_2$  do uniwersalnego układu odniesienia  $U$  można zapisać na podstawie (25)-(26). Transformację z uniwersalnego układu odniesienia  $U$  do inercjalnego układu  $U_1$  można zapisać na podstawie (27)-(28). Prędkość  $v_1$  jest prędkością układu  $U_1$  w układzie  $U$ , natomiast prędkość  $v_2$  jest prędkością układu  $U_2$  w układzie  $U$ . Stąd otrzymujemy

$$\begin{cases} t = \frac{1}{\sqrt{1-(v_2/c)^2}} t_2 \\ x = \frac{1}{\sqrt{1-(v_2/c)^2}} v_2 t_2 + \sqrt{1-(v_2/c)^2} \cdot x_2 \\ y = y_2 \\ z = z_2 \end{cases} \quad (29)$$

oraz

$$\begin{cases} t_1 = \sqrt{1-(v_1/c)^2} \cdot t \\ x_1 = \frac{1}{\sqrt{1-(v_1/c)^2}} (-v_1 t + x) \\ y_1 = y \\ z_1 = z \end{cases} \quad (30)$$

Rozważymy tylko najprostszy przypadek, w którym prędkości  $v_1$  oraz  $v_2$  są do siebie równoległe. Równania (29) wstawiamy do równań (30). Na tej podstawie, po małych przekształceniach, otrzymujemy transformację z inercjalnego układu  $U_2$  do inercjalnego układu  $U_1$  w postaci

$$\begin{cases} t_1 = \frac{\sqrt{1-(v_1/c)^2}}{\sqrt{1-(v_2/c)^2}} t_2 \\ x_1 = \frac{v_2 - v_1}{\sqrt{1-(v_1/c)^2} \sqrt{1-(v_2/c)^2}} t_2 + \frac{\sqrt{1-(v_2/c)^2}}{\sqrt{1-(v_1/c)^2}} x_2 \\ y_1 = y_2 \\ z_1 = z_2 \end{cases} \quad (31)$$

## 6. Prędkości w STE

### 6.1. Prędkość światła w układzie inercjalnym

W pracach [5] oraz [11], na podstawie transformacji (25)-(28), wyprowadzony został ogólny wzór na prędkość światła biegnącego w dowolnym kierunku w próżni o postaci (rysunek 3)

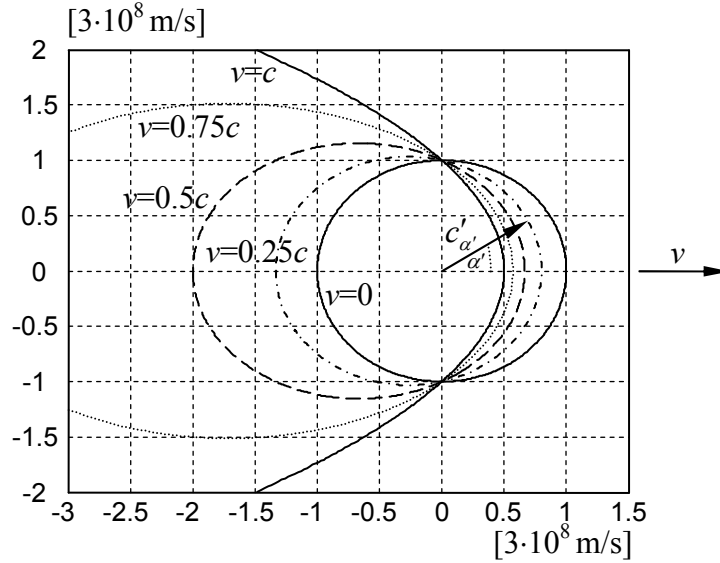
$$c'_{\alpha'} = \frac{c^2}{c + v \cos \alpha'} \quad (32)$$

Dla światła poruszającego się w nieruchomym względem obserwatora ośrodku materialnym ma postać ([11])

$$c'_{s\alpha'} = \frac{c^2 c_s}{c^2 + c_s v \cos \alpha'} \quad (33)$$

W tych dwóch zależnościach kąt  $\alpha'$  jest, mierzonym przez obserwatora, kątem pomiędzy wektorem jego prędkości względem UFR oraz wektorem prędkości światła. Prędkość  $c_s$  jest prędkością światła w ośrodku materialnym nieruchomym względem UFR widzianą przez nieruchomego względem UFR obserwatora. Wzór (33) sprowadza się do wzoru (32), jeżeli tylko podstawimy  $c_s=c$ .





Rys. 3. Jednokierunkowa prędkość światła  $c'_{\alpha'}$  w układzie inercyjnym dla  $v=0, 0.25c, 0.5c, 0.75c, c$ .

Niech w układzie  $U_1$ , światło biegnie równoległe do prędkości  $v_1$  układu  $U_1$  względem UFR (rysunek 4). Podobnie jak w eksperymencie Michelson'a-Morley'a, światło biegnie na drodze  $L$  przez pewien czas  $t'$ . Na końcu drogi odbija się od zwierciadła i wraca z powrotem na tej samej drodze  $L$  przez pewien czas  $t''$ . Wtedy, na podstawie (33), średnia prędkość światła w układzie inercyjnym  $U_1$  wyniesie

$$c'_{sr} = \frac{2L}{t'_{s\alpha'} + t''_{s(\pi-\alpha')}} = \frac{2L}{\frac{L}{\frac{c^2 c_s}{c^2 + c_s v \cos \alpha'}} + \frac{L}{\frac{c^2 c_s}{c^2 + c_s v \cos(\pi - \alpha')}}} \quad (34)$$

$$c'_{sr} = \frac{2}{\frac{c^2 + c_s v \cos \alpha'}{c^2 c_s} + \frac{c^2 - c_s v \cos \alpha'}{c^2 c_s}} = \frac{2}{\frac{2c^2}{c^2 c_s}} = c_s \quad (35)$$

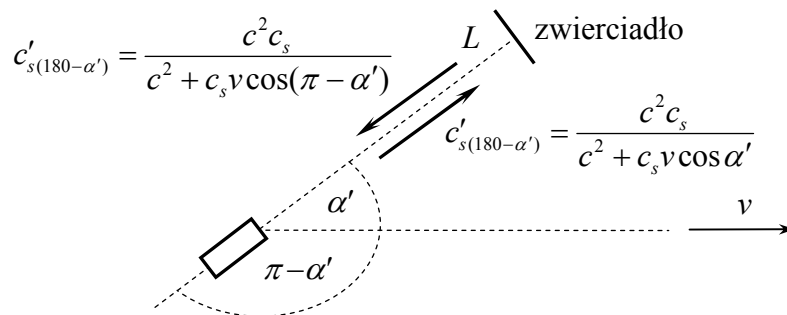


Fig. 4. Prędkości światła w eksperymentach Michelson'a-Morley'a.

Z zależności (35) wynika, że  $c_s$  jest także prędkością średnią światła na drodze do zwierciadła oraz z powrotem w ośrodku materialnym nieruchomym względem ruchomego obserwatora. Pomimo tego, że prędkość światła wyrażona wzorem (33) zależy od kąta  $\alpha'$  oraz prędkości  $v$ , to średnia prędkość światła na drodze do zwierciadła i z powrotem zawsze jest stała i wynosi  $c_s$ . Prędkość ta zgadza się z wynikami eksperymentów Michelson'a-Morley'a oraz Kennedy'ego-Thorndike'a, z których wynika, że średnia prędkość światła jest stała i wynosi  $c$  w próżni lub  $c_s$  w ośrodku materialnym (prędkość średnia, nie chwilowa). Wykazaliśmy, że z eksperymentu

Michelson'a-Morley'a nie wynika to, że prędkość chwilowa światła jest stała w każdym kierunku. Nieprawdziwe jest także twierdzenie, że eksperyment Michelson'a-Morley'a dowiódł, że nie ma uniwersalnego układu odniesienia, w którym rozchodzi się światło.

### 6.2. Prędkość względna i sumowanie prędkości bezwzględnych

Na podstawie (31) otrzymujemy różniczki

$$\begin{cases} dt_1 = \frac{\sqrt{1-(v_1/c)^2}}{\sqrt{1-(v_2/c)^2}} dt_2 \\ dx_1 = \frac{v_2 - v_1}{\sqrt{1-(v_1/c)^2} \sqrt{1-(v_2/c)^2}} dt_2 + \frac{\sqrt{1-(v_2/c)^2}}{\sqrt{1-(v_1/c)^2}} dx_2 \end{cases} \quad (36)$$

Prędkość względna układu inercjalnego  $U_2$  względem układu inercjalnego  $U_1$  jest równa prędkości dowolnego punktu  $x_2$  z układu  $U_2$  względem układu  $U_1$ . Wynosi więc

$$v_{2/1} = \frac{dx_1}{dt_1} = \frac{\frac{v_2 - v_1}{\sqrt{1-(v_1/c)^2} \sqrt{1-(v_2/c)^2}} dt_2 + \frac{\sqrt{1-(v_2/c)^2}}{\sqrt{1-(v_1/c)^2}} dx_2}{\frac{\sqrt{1-(v_1/c)^2}}{\sqrt{1-(v_2/c)^2}} dt_2}, \quad \text{gdzie } dx_2 = 0 \quad (37)$$

Czyli prędkość względna dwóch układów inercjalnych poruszających się względem UFR w tym samym kierunku wynosi

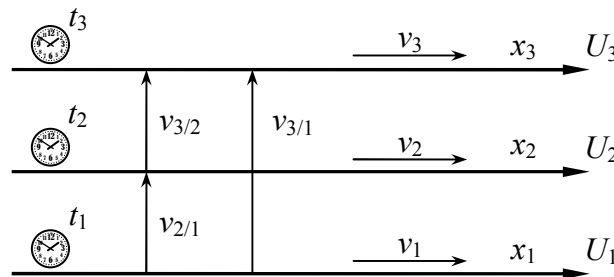
$$v_{2/1} = \frac{\frac{v_2 - v_1}{\sqrt{1-(v_1/c)^2} \sqrt{1-(v_2/c)^2}}}{\frac{\sqrt{1-(v_1/c)^2}}{\sqrt{1-(v_2/c)^2}}} = \frac{v_2 - v_1}{1 - (v_1/c)^2} \quad (38)$$

Na podstawie (38) otrzymujemy wzór na sumowanie prędkości bezwzględnych

$$v_2 = v_1 + v_{2/1}(1 - (v_1/c)^2) \quad (39)$$

### 6.3. Sumowanie prędkości względnych

Na rysunku 5 przedstawione są trzy układy inercjalne  $U_1$ ,  $U_2$ ,  $U_3$ . Zaznaczono prędkości względne układów.



Rys. 5. Układy inercjalne  $U_1$ ,  $U_2$ ,  $U_3$  poruszające się względem UFR z prędkościami  $v_1$ ,  $v_2$ ,  $v_3$ .

Na podstawie (38) oraz (39) można zapisać

$$v_{3/1} = (v_3 - v_1) \frac{1}{1 - (v_1/c)^2} \quad (40)$$

$$v_1 = v_2 - v_{2/1}(1 - (v_1/c)^2) \quad (41)$$

$$v_3 = v_2 + v_{3/2}(1 - (v_2/c)^2) \quad (42)$$

Wstawiając (41) oraz (42) do (40) otrzymamy

$$v_{3/1} = (v_2 + v_{3/2}(1 - (v_2/c)^2) - v_2 + v_{2/1}(1 - (v_1/c)^2)) \frac{1}{1 - (v_1/c)^2} \quad (43)$$

Ostatecznie otrzymujemy wzór na sumowanie prędkości względnych

$$v_{3/1} = v_{3/2} \frac{1 - (v_2/c)^2}{1 - (v_1/c)^2} + v_{2/1} \quad (44)$$

Wzór ten można zapisać w innej postaci, jeżeli zauważy się, że na podstawie (38) zachodzi

$$1 - (v_1/c)^2 = \frac{v_2 - v_1}{v_{2/1}} \quad \text{oraz} \quad 1 - (v_2/c)^2 = \frac{v_1 - v_2}{v_{1/2}} \quad (45)$$

Teraz wzór na sumowanie prędkości względnych przyjmuje postać

$$v_{3/1} = -v_{3/2} \frac{v_{2/1}}{v_{1/2}} + v_{2/1} \quad (46)$$

## 7. Skrócenia w STE

### 7.1. Skrócenie długości

Rozważymy dwa układy  $U_1$  oraz  $U_2$  poruszające się w eterze w tym samym kierunku odpowiednio z prędkościami  $v_1$  oraz  $v_2$ . W układach tych, równoległe do kierunku ruchu, umieszczone zostały nieruchomo dwie identyczne linijki o długości  $L_0=L_{1/1}=L_{2/2}$ . Końce linijki nieruchomej w układzie  $U_2$  znajdują się w tym układzie w położeniu  $x_2^A$  oraz  $x_2^B$ . Na podstawie (31), dla każdego czasu  $t_2$ , końce tej linijki mają w układzie  $U_1$  współrzędne

$$x_{2/1}^A = \frac{v_2 - v_1}{\sqrt{1 - (v_1/c)^2} \cdot \sqrt{1 - (v_2/c)^2}} t_2 + \frac{\sqrt{1 - (v_2/c)^2}}{\sqrt{1 - (v_1/c)^2}} x_2^A \quad (47)$$

$$x_{2/1}^B = \frac{v_2 - v_1}{\sqrt{1 - (v_1/c)^2} \cdot \sqrt{1 - (v_2/c)^2}} t_2 + \frac{\sqrt{1 - (v_2/c)^2}}{\sqrt{1 - (v_1/c)^2}} x_2^B \quad (48)$$

Po odjęciu stronami (48) oraz (47) otrzymamy  $L_{2/1}$ , czyli długość linijki z układu  $U_2$  widzianą w układzie  $U_1$

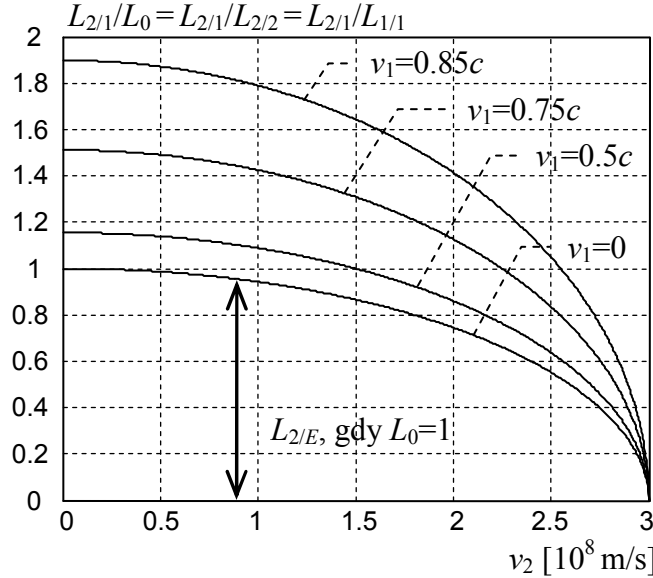
$$L_{2/1} = x_{2/1}^B - x_{2/1}^A = \frac{\sqrt{1 - (v_2/c)^2}}{\sqrt{1 - (v_1/c)^2}} (x_2^B - x_2^A) \quad (49)$$

Ponieważ

$$L_0 = x_2^B - x_2^A \quad (50)$$

otrzymamy wzór na skrócenie długości wyrażone od prędkości bezwzględnych w postaci

$$L_{2/1} = \frac{\sqrt{c^2 - v_2^2}}{\sqrt{c^2 - v_1^2}} L_0 \quad (51)$$



Rys. 6. Skrócenie długości z  $U_2$  widziane w układzie  $U_1$  o zadanej stałej prędkości  $v_1$ .

Na rysunku 6 przedstawiono skrócenie długości (51), w funkcji zmiennej prędkości  $v_2$ , gdy układ  $U_1$  ma stałą prędkość  $v_1$ .

Na podstawie (45) skrócenie długości można wyrazić od prędkości względnych

$$L_{2/1} = \sqrt{\frac{v_{2/1}}{v_{1/2}}} \cdot L_0 \quad (52)$$

## 7.2. Dylatacja czasu

Rozważmy dwa układy  $U_1$  oraz  $U_2$  poruszające się w eterze, odpowiednio z prędkościami  $v_1$  oraz  $v_2$ , w tym samym kierunku. W układzie  $U_2$  zachodzą dwa zdarzenia, odpowiednio w chwilach  $t_2^A$  oraz  $t_2^B$ . W układzie  $U_1$ , zgodnie z (31), chwile zajścia tych zdarzeń wyniosą

$$t_1^A = \frac{\sqrt{1 - (v_1/c)^2}}{\sqrt{1 - (v_2/c)^2}} t_2^A \quad (53)$$

$$t_1^B = \frac{\sqrt{1 - (v_1/c)^2}}{\sqrt{1 - (v_2/c)^2}} t_2^B \quad (54)$$

Po odjęciu stronami (54) oraz (53) otrzymamy  $\Delta t_1$ , czyli odstęp czasu pomiędzy zdarzeniami widziany z układu  $U_1$

$$\Delta t_1 = t_1^B - t_1^A = \frac{\sqrt{1 - (v_1/c)^2}}{\sqrt{1 - (v_2/c)^2}} (t_2^B - t_2^A) \quad (55)$$

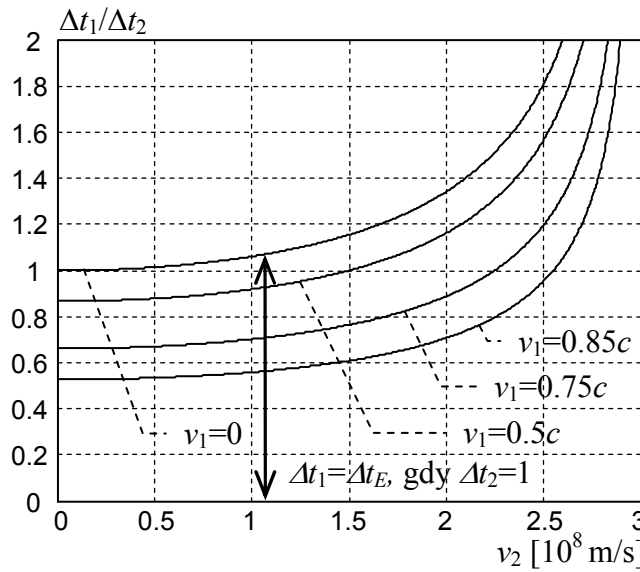
Ponieważ

$$\Delta t_2 = t_2^B - t_2^A \quad (56)$$

otrzymamy wzór na skrócenie czasu wyrażone od prędkości bezwzględnych w postaci

$$\Delta t_1 = \frac{\sqrt{c^2 - v_1^2}}{\sqrt{c^2 - v_2^2}} \Delta t_2 \quad (57)$$

Na rysunku 7 przedstawione zostało skrócenie czasu (57) w funkcji zmiennej prędkości  $v_2$ , gdy układ  $U_1$  ma stałą prędkość  $v_1$ .



Rys. 7. Skrócenie czasu z  $U_2$  widziane w układzie  $U_1$  o zadanej stałej prędkości  $v_1$ .

Na podstawie (45) skrócenie czasu można również wyrazić od prędkości względnych

$$\Delta t_1 = \sqrt{-\frac{v_{1/2}}{v_{2/1}}} \cdot \Delta t_2 \quad (58)$$

## 8. Anizotropia mikrofalowego promieniowania tła

Światło jest szczególnym przypadkiem promieniowania elektromagnetycznego, jednak powyższe rozważania dotyczą nie tylko światła, ale każdego promieniowania elektromagnetycznego.

Przestrzeń kosmiczna wypełniona jest kosmicznym mikrofalowym promieniowaniem tła. Liczne badania na ten temat zostały omówione w pracy [4]. Dokładne pomiary tego promieniowania wykonały satelity COBE, WMAP oraz Planck. Widmo tego promieniowania jest takie jak widmo promieniowania ciała doskonale czarnego o temperaturze

$$\bar{T}_\nu = 2.726 \pm 0.010 \text{ K} \quad (59)$$

Mikrofalowe promieniowanie tła jest promieniowaniem elektromagnetycznym o maksymalnym natężeniu dla częstotliwości około 300 GHz. Promieniowanie tła posiada niejednorodność (anizotropię) z amplitudą

$$\Delta T_{\nu} = 3.358 \pm 0.017 \text{ mK} \quad (60)$$

Najmniejszą temperaturę promieniowanie tła ma w pobliżu gwiazdozbioru Wodnika, natomiast największą temperaturę w pobliżu gwiazdozbioru Lwa. Czyli z perspektywy Układu Słonecznego po jednej stronie Wszechświat jest nieco cieplejszy, natomiast po drugiej stronie jest nieco chłodniejszy.

Zgodnie z wszystkimi obecnie uznawanymi teoriami przestrzeń jest jednorodna (wszystkie punkty przestrzeni są równoprawne) i izotropowa (wszystkie kierunki w przestrzeni są równoprawne) oraz wszystkie inercjalne układy odniesienia są równoważne. Przy takich założeniach, jeżeli mikrofalowe promieniowanie tła miałyby być wytwarzane przez obiekty znajdujące się w kosmosie, wtedy to promieniowanie docierające do Ziemi powinno być takie samo z każdego kierunku. Ponieważ tak nie jest, dlatego anizotropia mikrofalowego promieniowania tła wymaga w ramach obowiązujących teorii specjalnego wytłumaczenia.

W pracy [4] przedstawione zostało wyjaśnienie anizotropii mikrofalowego promieniowania tła, które odwołuje się do teorii Wielkiego Wybuchu. Promieniowanie to miało powstać w początkowym okresie ewolucji Wszechświata, gdy nagle cała materia stała się przezroczysta. Wtedy uwolniło się promieniowanie, które dzisiaj obserwujemy jako mikrofalowe promieniowanie tła. Promieniowanie to jest jednorodne w układzie inercjalnym, w którym powstało. Według tej koncepcji anizotropia mikrofalowego promieniowania tła jest spowodowana efektem Dopplera dla obserwatora poruszającego się względem układu odniesienia, w którym to promieniowanie powstało. Przy takim tłumaczeniu tego zjawiska wszystkie układy inercjalne pozostają fizycznie równoważne. Jednak takie tłumaczenie wymaga przyjęcia wielu założeń, których nie można zweryfikować eksperymentalnie. Na przykład konieczne jest założenie, że cała materia we wszechświecie była nieruchoma względem jednego inercjalnego układu odniesienia w chwili, gdy stawała się przezroczysta.

W ramach przedstawionej w tej pracy teorii można wytłumaczyć anizotropię kosmicznego mikrofalowego promieniowania tła w sposób bardzo naturalny. Wiadomo, że mikrofalowe promieniowanie tła jest bardzo przenikliwe przez materię wypełniająca przestrzeń kosmiczną, dlatego jeżeli jego źródła są rozproszone w jednorodnej przestrzeni, to w długim okresie istnienia wszechświata nagromadziło się ono równomiernie w całej przestrzeni. Dlatego można przyjąć, że mikrofalowe promieniowanie tła jest jednorodne w uniwersalnym układzie odniesienia, w którym rozchodzi się światło. Według naszej koncepcji anizotropia jest spowodowana efektem Dopplera widzianym przez obserwatora poruszającego się względem uniwersalnego układu odniesienia, w którym rozprzestrzenia się światło. W tym modelu, dla obserwatora ruchomego względem uniwersalnego układu odniesienia promieniowanie tła nie jest jednorodne pomimo tego, że przestrzeń jest jednorodna. Takie wyjaśnienie tego zjawiska może być weryfikowane eksperymentalnie, gdyż nie odwołuje się do teorii Wielkiego Wybuchu. Anizotropia mikrofalowego promieniowania tła jest bardzo silnym argumentem na rzecz istnienia układu odniesienia, w którym rozchodzi się światło.

Na podstawie anizotropii mikrofalowego promieniowania tła można wyznaczyć prędkość z jaką Układ Słoneczny porusza się względem eteru. Przyjmujemy, że mikrofalowe promieniowanie tła jest jednorodne w układzie eteru. Przyjmujemy, że odpowiada ono temperaturze  $T_0$  ciała doskonale czarnego. W pracy [5] pokazano, że na podstawie transformacji (25)-(28) można wyprowadzić wzór na efekt Dopplera z eteru do układu inercjalnego, taki sam jaki występuje w Szczególnej Teorii Względności, czyli

$$f_v = f_0 \frac{c - v \cos \alpha_E}{\sqrt{c^2 - v^2}} \quad \text{dla} \quad \alpha_E \in (0 \div \pi) \quad (61)$$

gdzie  $f_0$  jest częstotliwością światła względem eteru, natomiast  $f_v$  jest częstotliwością tego światła względem układu inercjalnego poruszającego się z prędkością  $v$ . Kąt  $\alpha_E$  jest kątem pomiędzy wektorem prędkości  $v$  oraz wektorem prędkości światła. Kąt  $\alpha_E$  jest widziany z eteru.

Dla  $\alpha_E=0$  wzór (61) sprowadza się do postaci

$$f_v^{\min} = f_0 \sqrt{\frac{(c-v)^2}{(c+v)(c-v)}} = f_0 \sqrt{\frac{c-v}{c+v}} \quad \text{dla} \quad \alpha_E = 0 \quad (62)$$

Dla  $\alpha_E=\pi$  wzór (61) sprowadza się do postaci

$$f_v^{\max} = f_0 \sqrt{\frac{(c+v)^2}{(c+v)(c-v)}} = f_0 \sqrt{\frac{c+v}{c-v}} \quad \text{dla} \quad \alpha_E = \pi \quad (63)$$

Na podstawie prawa przesunięć Wiena, długość fali świetlnej o maksymalnej mocy jest związana z temperaturą emitującego ją ciała doskonale czarnego zależnością

$$\frac{1}{\lambda_{\max}} = \frac{T}{0.00290 [\text{m} \cdot \text{K}]} \Rightarrow f = \frac{c}{\lambda_{\max}} = \frac{cT}{0.00290} \quad (64)$$

Dla częstotliwości widzianej z układu eteru otrzymujemy

$$f_0 = \frac{cT_0}{0.00290} \quad (65)$$

natomiast dla częstotliwości widzianej przez ruchomego obserwatora

$$f_v^{\min} = \frac{cT_v^{\min}}{0.00290} = \frac{c(\bar{T}_v - \Delta T_v)}{0.00290} \quad \wedge \quad f_v^{\max} = \frac{cT_v^{\max}}{0.00290} = \frac{c(\bar{T}_v + \Delta T_v)}{0.00290} \quad (66)$$

Po podstawieniu (65) oraz (66) do (62) otrzymujemy

$$T_v^{\min} = \bar{T}_v - \Delta T_v = T_0 \sqrt{\frac{c-v}{c+v}} \quad (67)$$

Po podstawieniu (65) oraz (66) do (63) otrzymujemy

$$T_v^{\max} = \bar{T}_v + \Delta T_v = T_0 \sqrt{\frac{c+v}{c-v}} \quad (68)$$

Po podzieleniu stronami równania (67) przez (68) otrzymujemy

$$\frac{T_v^{\min}}{T_v^{\max}} = \frac{\bar{T}_v - \Delta T_v}{\bar{T}_v + \Delta T_v} = \frac{c-v}{c+v} \quad (69)$$

Na tej podstawie po niedużych przekształceniach otrzymujemy

$$v = \frac{T_v^{\max} - T_v^{\min}}{T_v^{\max} + T_v^{\min}} c = \frac{(\bar{T}_v + \Delta T_v) - (\bar{T}_v - \Delta T_v)}{(\bar{T}_v + \Delta T_v) + (\bar{T}_v - \Delta T_v)} c = \frac{\Delta T_v}{\bar{T}_v} c \quad (70)$$

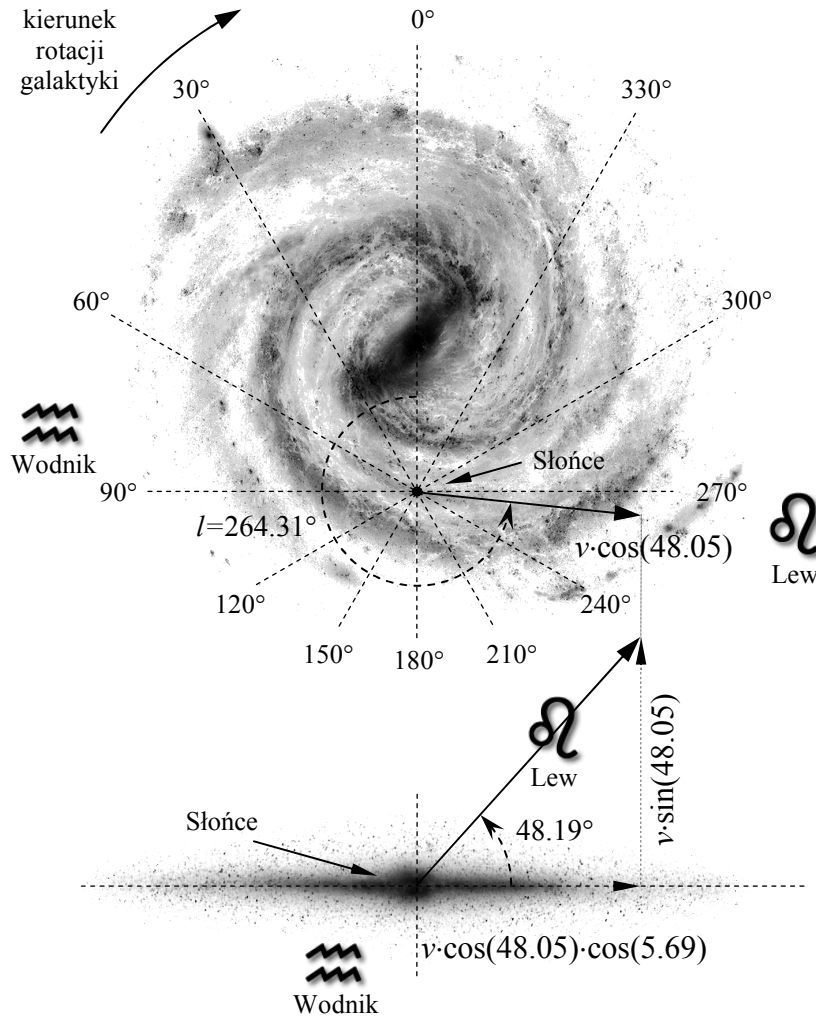
Na podstawie (59) oraz (60) otrzymujemy ( $c = 299792.458 \text{ km/s}$ )

$$v = \frac{\Delta T_v}{\bar{T}_v} c = \frac{3.358 \cdot 10^{-3}}{2.726} \cdot 299792.458 = 369.30 \text{ km/s} \quad (71)$$

$$v_{\max} = \frac{(\Delta T_v)_{\max}}{(\bar{T}_v)_{\min}} c = \frac{(3.358 + 0.017) \cdot 10^{-3}}{2.726 - 0.01} \cdot 299792.458 = 372.53 \text{ km/s} \quad (72)$$

$$v_{\min} = \frac{(\Delta T_v)_{\min}}{(\bar{T}_v)_{\max}} c = \frac{(3.358 - 0.017) \cdot 10^{-3}}{2.726 + 0.01} \cdot 299792.458 = 366.08 \text{ km/s} \quad (73)$$

$$\Delta v = v - v_{\min} = 3.24 \text{ km/s} \quad \text{lub} \quad \Delta v = v_{\max} - v = 3.22 \text{ km/s} \quad (74)$$



Rys. 8. Prędkość Układu Słonecznego względem eteru.

Rzut na płaszczyznę Galaktyki oraz rzut na płaszczyznę prostopadłą do płaszczyzny Galaktyki (90°-270°). Widok galaktyki Droga Mleczna z góry (z naniesionymi współzrzednymi galaktycznymi) oraz widok z boku.

Ostatecznie na podstawie (71) oraz (74) otrzymujemy prędkość Układu Słonecznego względem eteru (jej wartość jest w przybliżeniu taka sama jak w [4], ale ma inną interpretację)

$$v = 369.3 \pm 3.3 \text{ km/s} \approx 0.001232 \cdot c \quad (75)$$

Prędkość ta jest zwrócona w kierunku gwiazdozbioru Lwa. Odpowiada to współzrzednym galaktycznym (rysunek 8)



$$\begin{aligned}l &= 264.31^\circ \pm 0.16^\circ \\b &= 48.05^\circ \pm 0.10^\circ\end{aligned}\tag{76}$$

W pracy [5] prędkość Układu Słonecznego względem eteru została oszacowana na podstawie, mało precyzyjnego, eksperymentu z rozpadem mezonów  $K^+$ . Otrzymana tam wartość jest tego samego rzędu i wynosi 445 km/s.

Wyznamy jeszcze temperaturę  $T_0$  promieniowania tła widzianą z układu eteru. W tym celu pomnożymy stronami równość (67) oraz (68). Otrzymujemy

$$T_0 = \sqrt{T_v^{\min} \cdot T_v^{\max}} = \sqrt{(\bar{T}_v - \Delta T_v)(\bar{T}_v + \Delta T_v)}\tag{77}$$

Po uwzględnieniu (59) oraz (60) otrzymujemy

$$T_0 = 2.72599793\text{ K}\tag{78}$$

Ze względu na małą prędkość Układu Słonecznego względem eteru, temperatura ta jest tylko nieznacznie mniejsza niż średnia temperatura (59) mierzona w Układzie Słonecznym.

## 9. Wnioski końcowe

Wyznaczone transformacje (25)-(26) oraz (27)-(28) są zgodne z doświadczeniem Michelson'a-Morley'a oraz Kennedy'ego-Thorndike'a. Z transformacji tych wynika, iż pomiar prędkości światła w próżni, przy pomocy stosowanych dotychczas metod, zawsze będzie dawał średnią wartość równą  $c$ . Tak się dzieje pomimo tego, że dla ruchomego obserwatora prędkość światła ma różną wartość w różnych kierunkach. Średnia prędkość światła jest zawsze stała i niezależna od prędkości inercjalnego układu odniesienia. Z powodu tej własności prędkości światła eksperymenty Michelson'a-Morley'a oraz Kennedy'ego-Thorndike'a nie mogły wykryć uniwersalnego układu odniesienia.

Z przeprowadzonej analizy wynika, że jest możliwe wyjaśnienie wyników eksperymentu Michelson'a-Morley'a na bazie uniwersalnego układu odniesienia. Nieprawdziwe jest twierdzenie, że eksperyment Michelson'a-Morley'a dowiódł, że prędkość światła jest bezwzględnie stała. Nieprawdziwe jest także twierdzenie, że eksperyment Michelson'a-Morley'a dowiódł, że nie ma uniwersalnego układu odniesienia, w którym rozchodzi się światło i porusza się ze stałą prędkością.

Dopuszczenie, że prędkość światła może zależeć od kierunku jego emisji nie wyróżnia żadnego kierunku w przestrzeni. Chodzi bowiem o prędkość światła jaką mierzy ruchomy obserwator. To prędkość z jaką obserwator porusza się względem uniwersalnego układu odniesienia wyróżnia w przestrzeni charakterystyczny kierunek, ale tylko dla tego obserwatora. Dla obserwatora nieruchomego względem uniwersalnego układu odniesienia prędkość światła zawsze jest stała i nie zależy od kierunku jego emisji. Jeżeli obserwator porusza się względem uniwersalnego układu odniesienia, wtedy dla niego przestrzeń nie jest symetryczna. W jego przypadku będzie podobnie jak dla obserwatora płynącego po wodzie i mierzącego prędkość fali na wodzie. Pomimo tego, że fala rozchodzi się po wodzie ze stałą prędkością w każdym kierunku, dla płynącego obserwatora prędkość fali będzie różna w różnych kierunkach.

Obecnie uważa się, że STW jest jedyną teorią wyjaśniającą eksperymenty Michelson'a-Morley'a oraz Kennedy'ego-Thorndike'a. W tym artykule wykazano, że możliwe są inne teorie zgodnie z tymi eksperymentami. W pracach [5]-[10] w oparciu o wyznaczoną tutaj transformację została wyprowadzona nowa teoria fizyczna kinematyki i dynamiki ciał, nazwana przez autorów Szczególną Teorią Eteru. W pracy [11] pokazano, że możliwe jest osłabienie założenia IV oraz wyprowadzenie ogólniejszej postaci transformacji (25)-(28). Czyli można wyprowadzić wiele kinematyk zgodnych z eksperymentami Michelson'a-Morley'a oraz Kennedy'ego-Thorndike'a. W pracy [5] pokazano, że w ramach każdej takiej kinematyki można wyprowadzić nieskończenie wiele dynamik. Aby wyprowadzić dynamikę, konieczne jest

przyjęcie dodatkowego założenia, które pozwala wprowadzić do teorii pojęcia masy, energii kinetycznej oraz pędu.

Na podstawie przedstawionej kinematyki można w naturalny sposób wytłumaczyć anizotropię mikrofalowego promieniowania tła, które zostało omówione w pracy [4]. Pozwala to wyznaczyć prędkość z jaką Układ Słoneczny porusza się względem uniwersalnego układu odniesienia, czyli 369,3 km/s. Zostało to pokazane w pracach [7], [8] oraz [11].

Eksperymenty Michelson'a-Morley'a oraz Kennedy'ego-Thorndike'a były wykonywane wielokrotnie przez różne zespoły. Każdy z tych eksperymentów potwierdził jedynie to, że stała jest średnia prędkość światła. Dlatego założenia, na których opiera się przedstawione wyprowadzenie są uzasadnione eksperymentalnie.

### Bibliografia

- [1] Kennedy Roy J., Thorndike Edward M., *Experimental Establishment of the Relativity of Time*. Physical Review, 42 (3), 400–418, 1932.
- [2] Mansouri Reza, Sexl Roman U., *A Test Theory of Special Relativity: I. Simultaneity and Clock Synchronization*. General Relativity and Gravitation, Vol. 8, No. 7, 1977, 497-513.
- [3] Michelson Albert A., Morley Edward W., *On the relative motion of the earth and the luminiferous ether*. American Journal of Science, Vol. 34, No. 203, 333–345, 1887.
- [4] Smoot George F., *Anizotropie kosmicznego mikrofalowego promieniowania tła: ich odkrycie i wykorzystanie* (w języku polskim). Postępy Fizyki, Tom 59, Zeszyt 2, 52-79, 2008.  
Smoot George F., *Nobel Lecture: Cosmic microwave background radiation anisotropies: Their discovery and utilization* (w języku angielskim). Reviews of Modern Physics, Volume 79, 1349-1379, 2007.  
Смут Джордж Ф., *Анизотропия реликтового излучения: открытие и научное значение* (w języku rosyjskim), Успехи Физических Наук, Том 177, № 12, 1294-1317, 2007.
- [5] Szostek Karol, Szostek Roman, *Szczególna Teoria Eteru* (w języku polskim). Wydawnictwo Amelia, Rzeszów w Polsce 2015, ISBN 978-83-63359-77-5.  
Szostek Karol, Szostek Roman, *Special Theory of Ether* (w języku angielskim). Publishing house AMELIA, Rzeszow in Poland 2015, ISBN 978-83-63359-81-2.
- [6] Szostek Karol, Szostek Roman, *The Geometric Derivation of the Transformation of Time and Position Coordinates in STE* (w języku angielskim: *Geometryczne wyprowadzenie transformacji czasu i współrzędnych położenia w STE*). IOSR Journal of Applied Physics (IOSR-JAP), 2016, Volume 8, Issue 4, Version III, 22-30, ISSN 2278-4861, DOI: 10.9790/4861-0804032230.
- [7] Szostek Karol, Szostek Roman, *Выделенная в космологии система отсчета и возможная модификация преобразований Лоренца* (w języku rosyjskim: *Wyodróżniony w kosmologii układ odniesienia i możliwa modyfikacja transformacji Lorentza*), Ученые Записки Физического Факультета МГУ (Notatki Naukowe Uniwersytetu Moskiewskiego Państwowego Wydziału Fizyki), № 2, 2017, 172102, ISSN 2307-9665.
- [8] Karol Szostek, Roman Szostek, *The Explanation of the Michelson-Morley Experiment Results by Means Universal Frame of Reference* (w języku angielskim: *Wyjaśnienie wyników eksperymentu Michelsona-Morleya przy pomocy uniwersalnego układu odniesienia*), Journal of Modern Physics, Vol. 8, No. 11, 2017, 1868-1883, ISSN 2153-1196
- [9] Szostek Karol, Szostek Roman, *Uogólnienie Transformacji Galileusza*, Problemy Nauk Stosowanych, Szczecin, Tom 7, 2017, 001–018, ISSN 2300-6110

- [10] Szostek Karol, Szostek Roman, *Derivation of Transformation and One-Way Speed of Light in Kinematics of Special Theory of Ether* (w języku angielskim: *Wyprowadzenie transformacji oraz jednokierunkowej prędkości światła w kinematyce Szczególnej Teorii Eteru*), *American Journal of Modern Physics*, Volume 6, Issue 6, 2017, 140-147, ISSN: 2326-8867
- [11] Szostek Karol, Szostek Roman *Wyprowadzenie ogólnej postaci kinematyki z uniwersalnym układem odniesienia* (w języku polskim). viXra 2017, [www.vixra.org/abs/1704.0104](http://www.vixra.org/abs/1704.0104).  
Szostek Karol, Szostek Roman, *The Derivation of the General Form of Kinematics with the Universal Reference System* (w języku angielskim). viXra 2017, [www.vixra.org/abs/1704.0105](http://www.vixra.org/abs/1704.0105).
- [12] Tangherlini Frank R., *The Velocity of Light in Uniformly Moving Frame*. A Dissertation. Stanford University, 1958 (reprint in *The Abraham Zelmanov Journal*, Vol. 2, 2009, ISSN 1654-9163).